

Kedvencemű előadás

zrft-frei.net / teaching ... image processing

Tematika = letélek

Jódelel: Digital Image Processing - Gonzalez &amp; Woods

Jóda: 3.86

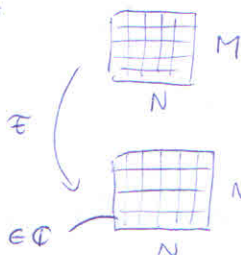
Email: frei@zrft-frei.net

Fogadóóra: kedd 10-12 ezen kívül előpontgyűjtés

Tematika

- elő felületen körvezés a könyvet

- könyv:



két művelet

• normál tér - fourier-tér

$$N = 2^n \quad n \in \mathbb{Z}$$

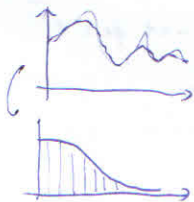
• elő néhány fejezetben erről beszél

• elő 6-7 eset összehasonlításáról szól

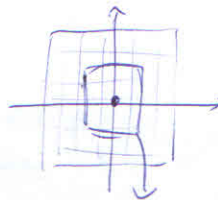
↳ baj: normál térben gépigényeselt  
Fourier-trafó → felbontás sz-csra

Mi: diskrét / folytonos, 1D, 2D

- Aluláteresztő szűrő



Fourier-térben:

ett megtartom, a többi törlöm → szűrés  
ellenkező → erősítés

- Szűrés normál térben

→ box car-t végigtolok

- Fourier-térben:

• rekonstrukció is lehét

• két művelet: járto - rekonstrukció

↳ szűrés szűrés képekre

2. felületben: szűrés képekre

RGB nem a legjobb megoldás - helyette? 1 óra

- 3D mérés: nehéz a cirkuláris polarizációt megőrizni
- laborban: aktív optika... 1 óra

Képfeldolgozási módszerrel: CERN mérés  $\rightarrow$  képet csinálni

- $\rightarrow$  infra kamera DSP  $\sim$  2000 USD
- $\rightarrow$  mű remote u-zet tudja  $\sim$  40 USD

Képek tömörítése és átritele: - feldolgozás  
- tömörítés: venteseleges  
ventereg mentes

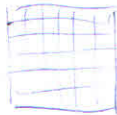
Utolsó elbárádás: vizualizáció

2. ca.

09.15.

### Képfeldolgozás

- frekvenciaterében könnyebbek/gyorsabbak a műveletek
- 2D tömörítés: 256 színes csatorna  $\rightarrow$  0-255 szürkeárnyékos intenzitások



↑ fekete  
↑ fehér  
8 bites pixel (pixel element)

- színes információ: RGB: 3 csatorna az adott pixelben
- képfelbontás: számítástechnikusan: pixelnám (2048 x 1024: 2Mpx - elso kép) ↑ CCD felbontás  
 optikai felbontás: nyílászög, amit a pixel fed (nem látna)  
 (optikai felbontás legjobb távcsó esetén: 1" elso 1000 px  $\rightarrow$  1000" - et fed le)

felülre  
egyre több  
kevésbé info van  
benn

$\leftrightarrow$  egyre  
rossabb a  
jel/zaj viszony

a képfelbontás nem a CCD chip korlátja  
 $\rightarrow$  nem lesz nagyobb a chip, csak több részre osztják

pl. elgőcs, pára - diffrakciólimitált felbontás 0.1"-0.01"  
 $\rightarrow$  legjobb: 1"  
 a legkisebb fény tudunk elget

optikailag nem alkalmas jóbb képek készítésére  
 (lencsét kell előtérni stb.)  
 nem elegendő növelni a px-námot

- négyzetes képeket dolgozunk fel:  $N \times N$   
 az legyen  $N = 2^m$  (Fast Fourier transzformáció miatt)

### Fourier-transzformált

$$\int_{-\infty}^{\infty} f(x) e^{-2\pi i u x} dx = F(u) = \mathcal{F}(f(x))$$

↑  
Fourier-transzformáció

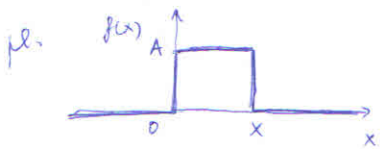
Inverz Fourier-transzformáció

$$\mathcal{F}^{-1}(F(u)) = f(x) = \int_{-\infty}^{\infty} F(u) e^{+2\pi i u x} du$$

$F(u) = R(u) + i \cdot I(u) \rightarrow$  komplex szám  
 $= |F(u)| \cdot e^{i\varphi(u)}$   $\varphi(u)$ : fázismóde,  $|F(u)|$ : nagyságja

$F(u) = \sqrt{R^2(u) + I^2(u)}$   $\varphi(u) = \arctg\left(\frac{I(u)}{R(u)}\right)$

Power-spectrum (teljesítményspektrum) :  $P(u) = |F(u)|^2$



megnyitja Fourier-transzformáljára.

$$F(u) = \int_{-\infty}^{\infty} f(x) e^{-2\pi i u x} dx = A \int_0^X e^{-2\pi i u x} dx = \frac{A}{\pi u} \sin(\pi u X) e^{-\pi i u X}$$

$|F(u)| = A \cdot X \left| \frac{\sin \pi u X}{\pi u X} \right|$



$\sim \frac{\sin x}{x}$  - "sinc"

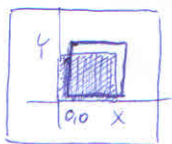
alacsony frekvenciájú komponensek  $\rightarrow$  egyenes kábelok  
 magasfrekvenciás komponensek  $\rightarrow$  kitérők, sálók

2D-ban: (még folytonosan)

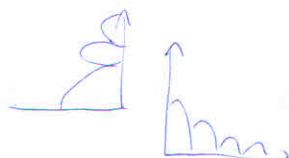
$$\mathcal{F}(f(x,y)) = F(u,v) = \iint_{-\infty}^{\infty} f(x,y) e^{-2\pi i (ux+vy)} dx dy$$

$$f(x,y) = \mathcal{F}^{-1}(F(u,v)) = \iint_{-\infty}^{\infty} F(u,v) e^{+2\pi i (ux+vy)} du dv$$

ugyanígy komplex szám  $\rightarrow$  fázis, absz. érték, ...



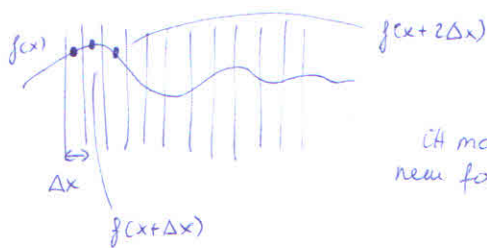
$$F(u,v) = \iint_{-\infty}^{\infty} f(x,y) e^{-2\pi i (ux+vy)} dx dy = \overset{\text{separáljuk}}{=} A \int_{-\infty}^{\infty} e^{-2\pi i u x} dx \int_{-\infty}^{\infty} e^{-2\pi i v y} dy$$



$\rightarrow$  mintha a kettőt ömlesztjük

# Diszkrét Fourier-transzformáció

$f(x)$  bennre van osztva (pixelméretek)



$$f(x) = f(x_0 + x \cdot dx)$$

Itt már nem folytonos

$$x = 0, 1, 2, \dots, N-1$$

↓  
indexeli a  $N$  db mintavételnek értékét az  $f(x)$  fr. nek

$$\left[ \begin{array}{l} F(u) \equiv \frac{1}{N} \sum_{x=0}^{N-1} f(x) \cdot e^{-2\pi i \frac{ux}{N}} \\ \uparrow \\ \text{normálom} \\ f(x) = \sum_{u=0}^{N-1} F(u) e^{2\pi i \frac{ux}{N}} \\ \uparrow \\ \text{ezt nem!} \end{array} \right]$$

diszkrét definíció

oda-vona transzformációnál

1.  $N$ -nel növeks az érték

( $\sqrt{N}$ -nel kéne mindkét esetben)

→ def. szerint odafele normáljuk  $N$ -nel

$$\Delta u = \frac{1}{N \Delta x} \quad \text{frekvenciák lennel értelmezve u-ban}$$

2D-ben:

általános def.

$$F(u, v) = \frac{1}{MN} \sum_{x=0}^{M-1} \sum_{y=0}^{N-1} f(x, y) e^{-2\pi i \left( \frac{ux}{M} + \frac{vy}{N} \right)}$$

$$f(x, y) = \sum_{u=0}^{M-1} \sum_{v=0}^{N-1} F(u, v) e^{2\pi i \left( \frac{ux}{M} + \frac{vy}{N} \right)}$$

lépfeldolgozásban:  $M, N \rightarrow N, N$

↳ az  $1/N^2$ -et felbonthatjuk  $1/N, 1/N$ -re (átbázisokor ne legyenek túl kicsik az amplitudók)

$$\left[ \begin{array}{l} F(u, v) = \frac{1}{N} \sum_{x=0}^{N-1} \sum_{y=0}^{N-1} f(x, y) e^{-2\pi i \frac{1}{N} (ux+vy)} \\ f(x, y) = \frac{1}{N} \sum_{u=0}^{N-1} \sum_{v=0}^{N-1} F(u, v) e^{2\pi i \frac{1}{N} (ux+vy)} \end{array} \right] \quad \underline{M=N}$$

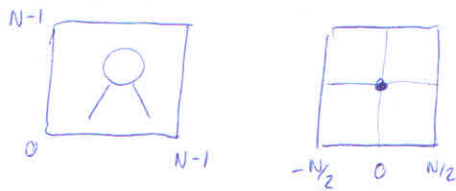
2D-s DFT tulajdonságai

Erdőremlés:  $\overline{f(x, y)} = \frac{1}{N^2} \sum_{x=0}^{N-1} \sum_{y=0}^{N-1} f(x, y)$

átlagos szűrőkéntje a képre



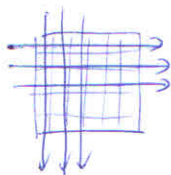
eltolom az eredeti képet  $\rightarrow$  eredeti FT-ja homogénra mindenféle rámozdítással  
 $\hookrightarrow \frac{N}{2}$ -kkel  $\rightarrow (-1)^k$ -gyel mozognak  
 az abszolút értéke nem változik



jobb így abszolút  
 $\rightarrow$  ált. koncenrikusok  
 és nem csináltam semmit  
 ( $\pm 1$ -ek nem változtatják az absz. értéket)

Szeparálhatóság

$$F(u, v) = \frac{1}{N} \sum_{x=0}^{N-1} e^{-2\pi i \frac{ux}{N}} \sum_{y=0}^{N-1} e^{-2\pi i \frac{vy}{N}} = \frac{1}{N} \sum_{x=0}^{N-1} e^{-2\pi i \frac{ux}{N}} F(x, v)$$



miképpen y irányban  
 végigvesszük az 1D-s  
 Fourier-t, hat

így meg olyan, miképpen  
 az után soronként x-eként  
 is FT-nak

$\Rightarrow 2^*N$  1D-s FT-t kell elvégezni!  
 $\downarrow$   
 N db pontból álló 1D-s tényleg

(i) Periodicitás

diszkrét fv  $\rightarrow$  periodikus FT-ét  
 periodikus fv  $\rightarrow$  diszkrét FT-ét } (dgg...)

$$F(u, v) = F(u+N, v) = F(u, v+N) = F(u+N, v+N)$$

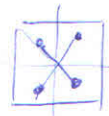
DFT  $\rightarrow$  periodikus Fourier-transzformált

(ii) Konjugált szimmetria

$$F(u, v) = F^*(-u, -v)$$

$\downarrow$  emiatt

$$|F(u, v)| = |F(-u, -v)|$$



Tengelyszimmetria

(iii) Rotáció

$$\begin{aligned} x &= r \cos \theta & u &= \omega \cdot \cos \varphi \\ y &= r \sin \theta & v &= \omega \cdot \sin \varphi \end{aligned}$$

$$\begin{aligned} f(r, \theta) &\xrightarrow{\mathcal{F}} F(\omega, \varphi) \\ f(r, \theta + \theta_0) &\rightarrow F(\omega, \varphi + \theta_0) \end{aligned}$$

$\rightarrow$  elforgatom a képet  $\rightarrow$  ugyanígy elfordul a FT-ét is

(jövő héten nem lesz óra)

$$f(x,y) * g(x,y) \Leftrightarrow F(u,v) \cdot G(u,v)$$

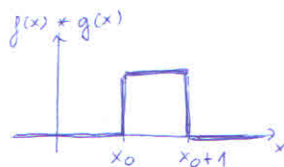
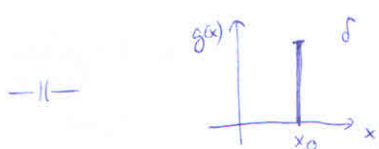
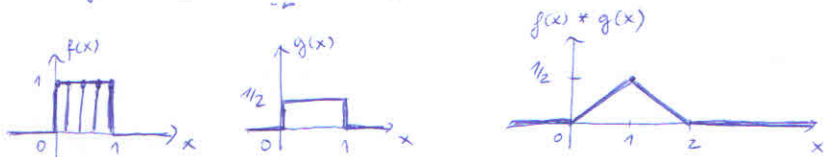
További művelet a FT-n kívül:

KONVOLÚCIÓ (1D, folytonos)

$$f(x) * g(x) \Leftrightarrow F(u) \cdot G(u)$$

Fourier-térben  
szorzás

$$f(x) * g(x) = \int_{-\infty}^{\infty} f(\alpha) g(x-\alpha) d\alpha \quad -\alpha \text{ szerepel} \rightarrow \text{fordított eltolás}$$



$$x_0 = x - \alpha$$

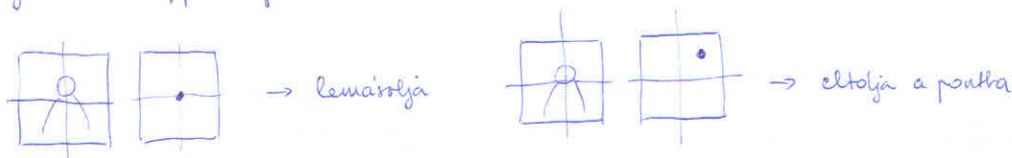
$$x - x_0 = \alpha$$

$$\begin{matrix} \downarrow & & \downarrow \\ 0-1 & & 0-1 \end{matrix}$$

$$x \rightarrow x_0 + [0-1]$$

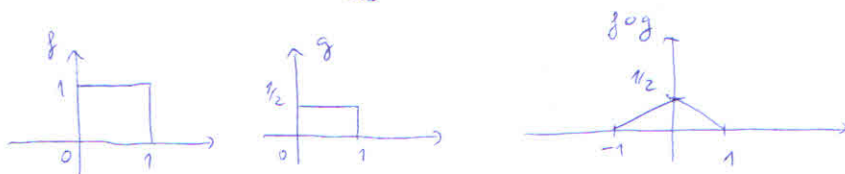
"odavahozja"  $x_0$ -hoz a fv. t

Mit jelent a képfeldolgozásban?



KORRELÁCIÓ

$$f(x) \circ g(x) = \int_{-\infty}^{\infty} f^*(\alpha) g(x+\alpha) d\alpha \quad \begin{matrix} \text{keresztkorreláció} \\ \text{autokorreláció} \end{matrix}$$



$$f(x,y) \circ g(x,y) \Leftrightarrow F^*(u,v) \cdot G(u,v)$$

Separálható transzformációk

$$F(u) = \sum_{x=0}^{N-1} f(x) e^{-2\pi i u x} = \sum_{x=0}^{N-1} f(x) \underbrace{e^{-2\pi i u x}}_{k(x,u)} \quad \text{általános transzformáció}$$

↳ ha  $k(x,u) = e^{-2\pi i u x}$ , akkor FT

KERNEL  $\rightarrow$  a transzformáció magf. e

$$F(u,v) = \sum_{y=0}^{N-1} \sum_{x=0}^{N-1} f(x,y) \cdot k(x,y,u,v) = T(u,v) \quad \text{széles általános transzformáció}$$

↳ ha  $k(x,y,u,v) = e^{-2\pi i (ux+vy)}$ , akkor  $F(u,v)$

↓  
akkor separálható, ha  $k(x, y, u, v) = k_1(x, u) \cdot k_2(y, v)$

FT esetén:  $k_1 = \frac{1}{\sqrt{N}} e^{-2\pi i \frac{ux}{N}}$

$k_2 = \frac{1}{\sqrt{N}} e^{-2\pi i \frac{vy}{N}}$

WALSH - transzformáció

vagy 0, vagy 1 → horizontális

$k_1(x, u) = \frac{1}{N} \prod_{i=0}^{N-1} (-1)^{b_i(x) \cdot b_{n-1-i}(u)}$

$N = 2^n$

↳ 1 vagy -1

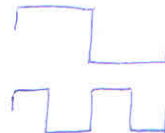
$b_k(z)$  "k-adik bit z-ben"

$n = 3 \quad N = 2^3 = 8$

$z = 6 \rightarrow$  2-es n-rendűben: 110

$b_0(6) = 0 \quad b_1(6) = 1 \quad b_2(6) = 1$

- FT magfüggvényei: cos-fv. el
  - Walsh magfv. ei: egyenértékű cos fv. el
- ↳ képfeldolgozáshoz kényelmes



$k_1(x, u) \quad \left. \begin{array}{l} \\ \\ \end{array} \right\} f(x, y, u, v) = k_1 \cdot k_2$   
 $k_2(y, v)$

Fraktál

Képjáratás (kisebbit kép-rekonstrukció)

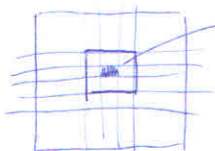
Történhet térben és frekvenciaterében.

↓  
SPATIAL DOMAIN                      ↓  
FREQUENCY DOMAIN.

- 1) pontprocessálás
- 2) máskprocessálás

↓  
: (kisebbit)

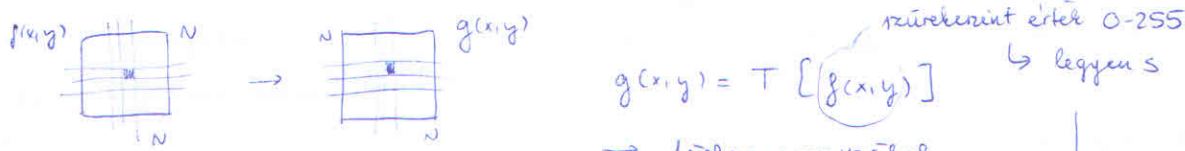
- 1)
- 2)



kicserelem egy másik pixelre

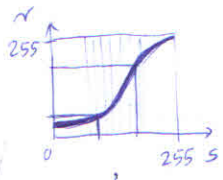
ha csak ő számít → pont-processálás

ha a környezeléből számított ki → másk-processálás



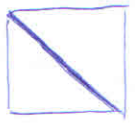
• pont-procedálás : szürkeszint-transzformáció - procedálás (ekvivalens)

$T[s] = r$   $\rightarrow$  új szürkeszinttel rendelés hozzá



LOOK-UP TABLE

LUT



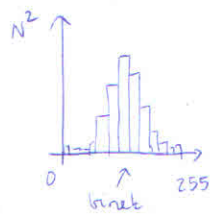
invertálás

ez a LUT megnöveli a kontrasztot

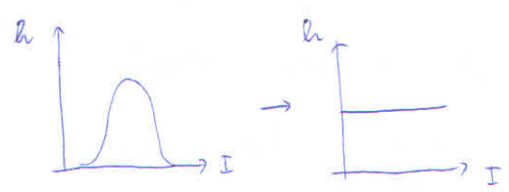
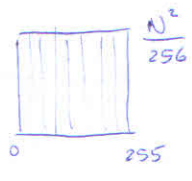
$\rightarrow$  ha volt a kúpcis érték  $\rightarrow$  jobban szűkízza őket

SZÜRKESZINT HISTOGRAM : diszkrét valószínűségi eloszlása a külszürkeszinteknek

✓ bemenő kép  
histogramja:



jó kontrasztos  
kép:



Milyen look-up table kell ehhez a transzformációhoz?

$\downarrow$   
integrálja a bemenőnek!

$p(s_k)$  : k-adik szürkeszint

$\uparrow$

$\frac{n_k}{N^2} = P(s_k)$

$L[0,1]$  !

k-adik szürkeszinttel felvett pixelrel námanál valószínűsége / ez van a histogramon /

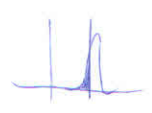
$T(s) \rightarrow r$

$T^{-1}(r) \rightarrow s$

!  $r, s \in [0,1]$   $\rightarrow$  kontroll be őket ebbe a tartományba

$r = T(s) = \int_0^s p_s(w) dw$

$\rightarrow$  nézzem ki így a transzformáció mert ekkor  $\frac{dr}{ds} = p_s$



Milyen lesz a tr. utáni r-ek valószínűségi eloszlása?  $p_r = ?$

$p_r = p_s \cdot \frac{ds}{dr} = \frac{dr}{ds} \cdot \frac{ds}{dr} \equiv 1$

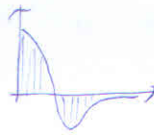
$\downarrow$

csak hogy  $\frac{dr}{ds}$

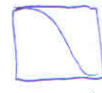
$\downarrow$  azért normaltam le mindent  $[0,1]$  közé, hogy öme tudjam keverni a LUT-t a histogrammal



Előemelés:



integráljait meggyezik (tg. alatti/potótti részénél)



SIMITÁS



ELŐEMELÉS

Frekvenciaaláírbeni proemálás

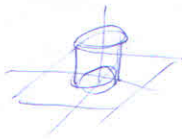
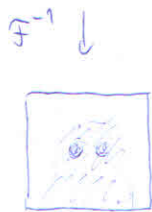
- ha a kép mérete  $N$ , a maszké  $n$ , akkor  $N^2 \times n^2$  művelés kell végezni (drága)



alacsony fr.  $\leftrightarrow$  lassú változás  
magas fr.  $\leftrightarrow$  gyors változás

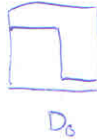
ha eset a komponenseket tartom meg,  
akkor szűrtök

némókkal normálisan  
be a képet ("maszkál")



SZŰRŐ

profilya:



$D_0$

aluláteresztő szűró  
(aló fr. kat enged át)  
magasakat elnyomja

$$F(u,v) * \begin{matrix} \phi \\ \text{mask} \end{matrix} H(u,v) \rightarrow F^{-1}$$

IDEÁLIS SZŰRŐ: ALULÁTERESZTŐ

$$H(u,v) = \begin{cases} 1, & \text{ha } D(u,v) < D_0 \\ 0, & \text{ha } D(u,v) \geq D_0 \end{cases}$$

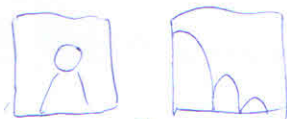
$$D(u,v) = \sqrt{u^2 + v^2}$$

- $N^2$  db pixelt kellett összorozgatni,  $n^2$ -tel nem kell megmozdítani  
 $\rightarrow$  gyorsabb, mint maszkál végigszámitani a képet
- Fourier-tr. separálható  $\rightarrow$  gyorsan végzi a gép

Előemelés

Normál tér és Fourier-tér kapcsolata miatt

$\rightarrow$  olyan, mintha KONVOLVAJTAM VOLNA az eredeti képet  
az ideális szűró Fourier-transzformáltjával!



nélemképes eredmény



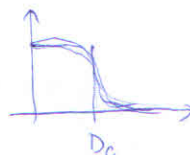
égyet nem értendő volna

az élék miatt van  
kóvó palli



"ideális szűró"  
egynemű

$D_0$ : karakt. nöörőseletesség



$$\text{BUTTERWORTH-SZŰRŐ}$$

$$H(u,v) = \frac{1}{1 + [D(u,v)/D_0]^{2n}}$$

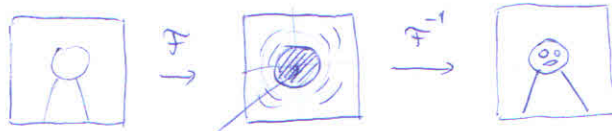
$n \rightarrow \infty$

ideális szűró

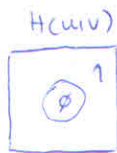
$n \rightarrow 0$

simidit

Előemelés



azt ott kivágom a szűrővel



FELÜLTÉRÉSZTŐ IDEÁLIS SZŰRŐ

$$H(u,v) = \begin{cases} 0, & \text{ha } D(u,v) < D_0 \\ 1, & \text{ha } D(u,v) > D_0 \end{cases}$$

ennek a FT-je megrit hullámszó



helyette: Butterworth

$$H(u,v) = \frac{1}{1 + [D_0/D(u,v)]^{2n}}$$



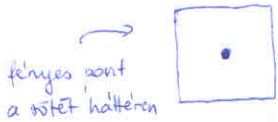
$$G(u,v) = F(u,v) \cdot H(u,v)$$

$$g(x,y) = f(x,y) * h(x,y)$$

megfelelnek egymásnak

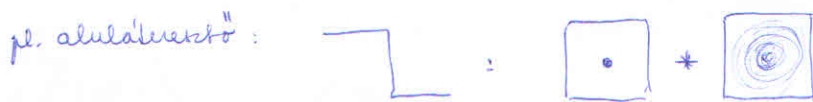
$H(u,v)$ : TRANSZFERFÜGGVÉNY

$h(x,y)$ : VALASZFÜGGVÉNY



mivel F a konstans 1  $\Rightarrow G(u,v) = H(u,v)$

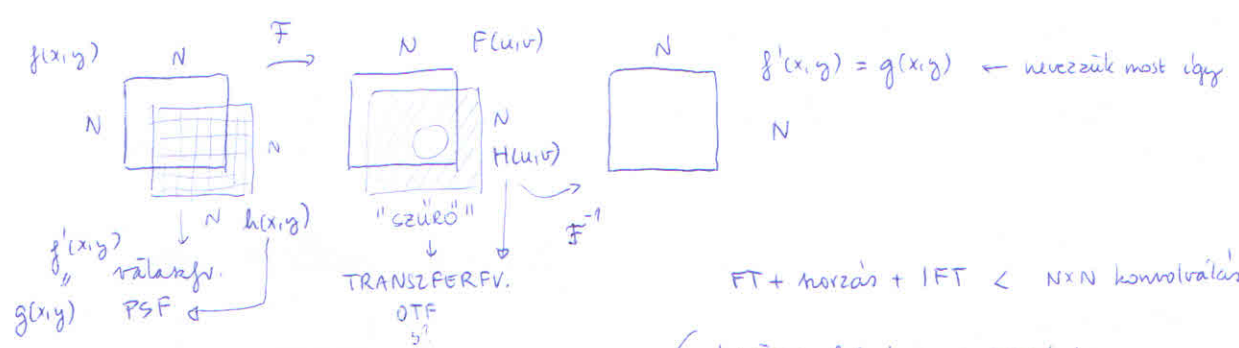
$\hookrightarrow$  az a gyújtásra  $h(x,y)$  választ adja (válaszf.)



$h(x,y)$ : POINT-SPREAD FUNCTION (PSF)

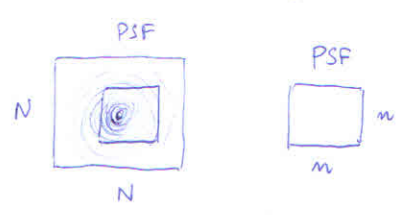
általában a FT módszer gyorsabb ( $N^2$  művelet + FT + IFT),  
mint a normál fényben a mátrix ( $N^4$ )

$\hookrightarrow$  ha elfogadható hibával leköszöníttem a mátrixot  $N^2 \rightarrow n^2$ , akkor lehet jobb



milyen legyen a  $n \times n$  mátrix kitöltése,  
hogy a legközelebb álljon az  $N \times N$  mátrixos  
konvolúciós eredményéhez?

kivéve: lehet  $n \times n$  mátrix!  
 $n < N$   
↓  
ez megírható jobban



$$G(u,v) = F(u,v) \cdot H(u,v)$$

$$g(x,y) = \sum_{i=0}^{N-1} \sum_{k=0}^{N-1} h(x-i, y-k) f(i, k)$$

$h(x,y) \rightarrow \hat{h}(x,y)$   
mégváltoztatott PSF

$$\hat{H}(u,v) = \frac{1}{N^2} \sum_{x=0}^{n-1} \sum_{y=0}^{n-1} \hat{h}(x,y) e^{-2\pi i (ux+vy) \frac{1}{N}}$$

Definiáljuk a hibát:

$$error^2 = \sum_{u=0}^{N-1} \sum_{v=0}^{N-1} |\hat{H}(u,v) - H(u,v)|^2$$

(mátrixszorzás)

$$\hat{H} = \underline{C} \hat{h}$$

$\hat{H}$ -ot meggyűjtjük  $N \times N$ -esre (0-kal kitöltjük)

$$\hat{H}(\dots, \dots) = \underline{C} (N^2 \times n^2) \hat{h}(\dots)$$

$C_{ik}$ :  $N^2 \times n^2$   
exponenciális  
tartalmazó mátr.

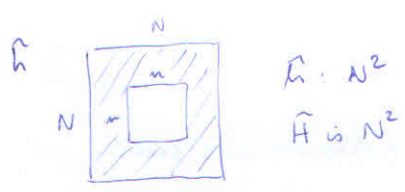
$$i = 0 - (N-1)^2$$

$$k = 0 - (n-1)^2$$

$$(n^2 - 1)$$

$$C_{ik} = \frac{1}{N} e^{-2\pi i (ux+vy) \frac{1}{N}}$$

$i = uN + v$   
 $k = x + y$



ez így nem ad 0-kat ott,  
ahol kellene  
 $i = u \cdot n + v$

$$\hat{H}(u,v) = \frac{1}{N} \sum_{x=0}^{N-1} \sum_{y=0}^{N-1} \hat{h}(x,y) e^{-2\pi i (ux+vy) \frac{1}{N}}$$

$$(N^2) (N^2 \times N^2) (N^2)$$

$$\hat{H} = \underline{C} \hat{h}$$

$$e^2 = \sum_{u=0}^{N-1} \sum_{v=0}^{N-1} |\hat{H}(u,v) - H(u,v)|^2$$

$$\Rightarrow C_{ik} = \frac{1}{N} e^{-2\pi i (ux+vy) \frac{1}{N}}$$

teljesítmény:  $e^2 = \|\hat{H} - \underline{H}\|^2 =$   
 $= \|\underline{C} \hat{h} - \underline{H}\|^2$

$i = Nu + v$   
 $k = Nx + y$

Minimalizálni akarjuk az  $e^2$ -et:

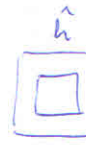
$$e^2 = \| \underline{C} \hat{h} - \underline{H} \|^2$$

$$\frac{\partial e^2}{\partial \hat{h}} = 0 = 2 \cdot \underline{C}^* (\underline{C} \hat{h} - \underline{H})$$

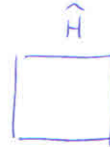
ezt kell megoldanunk

$$\underline{C}^* \underline{C} \hat{h} = \underline{C}^* \underline{H}$$

$$/ (\underline{C}^* \underline{C})^{-1}$$



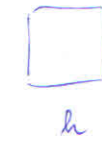
$\mathcal{F}$



$\hat{h}$  zero-padded

$$\underline{(\underline{C}^* \underline{C})^{-1} \underline{C}^* \underline{H}} = \hat{h}$$

$\underline{C} \#$



$\mathcal{F}$



eredeti mátrix

MOORE-PENROSE  
-PÉLE ÁLTALÁNOSÍTOTT  
INVERZ

a léten legoptimálisabb  
kitöltést adja meg a

$\square$   $n \times n$  mátrix

→ nem volt jó ötlet ki zero-paddelni a  $\hat{h}$ -ot

$$\hat{H}(u,v) = \frac{1}{N} \sum_{x=0}^{N-1} \sum_{y=0}^{N-1} \hat{h}(x,y) e^{-2\pi i (xu+vy) \frac{1}{N}}$$

$N^2$

$n^2$

$n^2 \times N^2$

$$C_{il} = \frac{1}{N} e^{-2\pi i (xu+vy) \frac{1}{N}}$$

$$k = xn + y$$

$$i = Nu + v$$

$$\underline{H} = \underline{C} \cdot \hat{h}$$

$$e^2 = \| \underline{H} - \hat{H} \|^2 = \| \underline{C} \hat{h} - \underline{H} \|^2$$

$$\hat{h} = (\underline{C}^* \underline{C})^{-1} \underline{C}^* \underline{H}$$

mátrix  
konjugáltja  
transponált  
ü ??

G. ea.  
10.20.

## REKONSTRUKCIÓ

képjantás → nincs előzetes ismeret

= a priori ismeret a problémáról

human perception mindig hogy  
kontrastositam ki a képet

pl. elhaladó autót fényképezés

ismerem a f. gép ráselemlését, a kép elmosdulását

- tradicionálisan: frekvenciateren → csak az egyenértékű dekonvolúciót csináljal meg
- modern: normál térben, algebrai megközelítés

pl. gaussianos függvel lemosó  
váltam a képet és  
egyezteltem

Általában a rekonstrukcióról:

$$g(x,y) = \underset{\substack{\uparrow \\ \text{hibás kép}}}{H} [ \underset{\substack{\uparrow \\ \text{transzformáció}}}{f(x,y)} ] + \underset{\substack{\uparrow \\ \text{zaj}}}{z(x,y)}$$

legyen most  $\emptyset$

$$\text{TFH} \bullet H \text{ lineáris: } H [ \xi_1 f_1(x,y) + \xi_2 f_2(x,y) ] = \underbrace{(\xi_1 H f_1(x,y))}_{\text{homogén}} + \underbrace{(\xi_2 H f_2(x,y))}_{\text{additív}}$$

•  $H$  pozíciófüggetlen : (pl. pozíciófüggetlő : létező kómaja (asztrof.))

$$H[f(x-\alpha, y-\beta)] = g(x-\alpha, y-\beta)$$



new pont a fókuszba érkező fénysugarak

Legyen most kontinuum-formalizmus:

$$f(x,y) = \int_{-\infty}^{\infty} \int_{-\infty}^{\infty} f(\alpha,\beta) d\alpha d\beta \delta(x-\alpha, y-\beta)$$



olyan, mintha ilyen másképp procedáltak volna

$$g(x,y) = H[f(x,y)] = H\left[\int_{-\infty}^{\infty} \int_{-\infty}^{\infty} f(\alpha,\beta) \delta(x-\alpha, y-\beta) d\alpha d\beta\right]$$

$H$  lineáritása miatt

$$g(x,y) = \int_{-\infty}^{\infty} \int_{-\infty}^{\infty} H[f(\alpha,\beta) \delta(x-\alpha, y-\beta)] d\alpha d\beta$$

mivel  $x$  &  $\alpha$ ,  $y$  &  $\beta$  függetlenek

$$g(x,y) = \int_{-\infty}^{\infty} \int_{-\infty}^{\infty} f(\alpha,\beta) H[\delta(x-\alpha, y-\beta)] d\alpha d\beta$$

eltorzított kép

$H$  hat a  $\delta(\cdot)$  manérra

"PSF", vö. a PSF, manérra

↓

de "nem spreadeli a pontot", u.-et adja vissza teljesen

az  $H[\delta(\cdot)]$  már torzít

$$H[\delta(x-\alpha, y-\beta)] := h(x,\alpha, y,\beta) : \text{igazából ez a PSF}$$

$$g(x,y) = \int_{-\infty}^{\infty} \int_{-\infty}^{\infty} f(\alpha,\beta) h(x,\alpha, y,\beta) d\alpha d\beta$$



pozíciófüggetlenség :  $H[\delta(x-\alpha, y-\beta)] = h(x-\alpha, y-\beta)$

$$g(x,y) = \int_{-\infty}^{\infty} \int_{-\infty}^{\infty} f(\alpha,\beta) h(x-\alpha, y-\beta) d\alpha d\beta$$

ez csak lineáris, pozíciófüggetlen  $H$ -ra írható így fel

Példa: elmosódó autó

képféle az elmosódás → képtárgy mozdul el (lineáris)

↓ a kamerát rezgetem



ezt nézzük

elmozdulást  $x_0(t)$

↓  $x_0(t), y_0(t), T$

$f(x,y)$

$$g(x,y) = \int_0^T f[x-x_0(t), y-y_0(t)] dt$$

$$\mathcal{F} \hookrightarrow G(u,v) = \int_{-\infty}^{\infty} \int_{-\infty}^{\infty} g(x,y) e^{-2\pi i(ux+vy)} dx dy \quad \rightarrow \text{beírni } g(x,y)\text{-t}$$

$$G(u, v) = \dots = \int_0^T \left[ \iint_{-\infty}^{\infty} f[x-x_0(t), y-y_0(t)] e^{-2\pi i(ux+vy)} dx dy \right] dt$$

$f$  FT-tja:  $F(x-x_0(t), y-y_0(t))$

FT eltolási tulajdonsága:

vagy inkább  $F(u, v) \rightarrow$  időinvariancia

$$F(u, v) \cdot \int_0^T e^{-2\pi i(ux_0(t) + vy_0(t))} dt = G(u, v)$$

transferfv.  $H(u, v)$

$$H(u, v) = \int_0^T e^{-2\pi i(ux_0(t) + v \cdot \cancel{y_0(t)})} dt$$

• hanyagoljuk el az  $y$  irányú elmozdulást

$$y_0(t) \equiv 0$$

• az  $x$  irányú elm. meg legyen lineáris (konstans seb. -gel megy az autó)

$$x_0(t) = a \cdot \frac{t}{T}$$

$0 \rightarrow T \quad 0 \rightarrow a$  értéket vesz fel

$$H(u, v) = \int_0^T e^{-2\pi i u a \frac{t}{T}} dt = \frac{T}{\pi u a} \sin(\pi u a) e^{-i\pi u a} \quad \text{transferfv.}$$

De ha ezek nincsenek meg és vmatr. om, akkor a frekv. térben dolgozunk.

Én viszont a normál térben akarom, algebrai úton:

$$g(x, y) = \int_0^T f[x-x_0(t), y-\cancel{y_0(t)}] dt$$

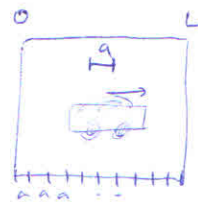
$x_0(t) = a \frac{t}{T}$

$y$  irányban nincs degradáció

$$g(x) = \int_0^T f\left(x - \frac{a}{T} t\right) dt$$

$:= \tau$

$$0 \leq x \leq L$$



$$g(x) = \int_{x-a}^x f(\tau) d\tau$$

$$g'(x) = f(x) - f(x-a)$$

$$f(x) = g'(x) + f(x-a)$$

örv. 'a' maraszokra a képlet:  $L = k \cdot a$   $k$  egész (ha kitérő a kép, levágom)

$$x = m \cdot a + z$$

$$0 \leq z \leq a \quad m \text{ is egész}$$

maradik a kör.  
'a' maraszok

$$x = L = (k-1)a + a$$

$$\begin{matrix} \parallel & \parallel \\ m & z \end{matrix}$$

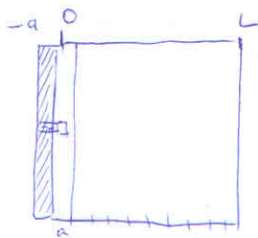
$$-\frac{a}{T} dt = d\tau$$

$$dt = -\frac{T}{a} d\tau$$

$$\tau = x - 0$$

$$\tau = x - a$$

$$f(x) = g'(x) + f(x-a) \Rightarrow f(ma+z) = g'(ma+z) + f((m-1)a+z)$$



az első (bal)  $a$ -tartományban az integrálásra  
olyan piketelt is bekerülttek, amelyek kitöltözték a képről  
→ tegyük hozzá balról egy  $a$ -nyi tartományt ( $\varphi$ )

$z$ -vel indexelve  $0$ -a tart  $\rightarrow f$ -ben

$$f(ma+z) = g'(ma+z) + f[(m-1)a+z] \quad \varphi(z) = f(z-a)$$

$m=0$  esetén (első oszlop a kép mellett) :

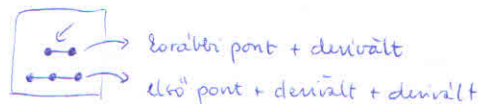
$$f(z) = g'(z) + f(z-a) = g'(z) + \varphi(z)$$

$m=1$  :

$$f(az) = g'(a+z) + f(z) = g'(a+z) + g'(z) + \varphi(z)$$

folytathatom  
→ rekurzió

$$f(ma+z) = \sum_{k=0}^m g'(ka+z) + \varphi(z)$$



$$f(x) = \sum_{k=0}^m g'(x-ka) + \varphi(x-ma)$$

de  $\varphi$  nem ismert  $\rightarrow$  ez a kitöltő rész  
elmosódott képen deriváltak (kiszámolható)

$$\tilde{f}(x) \equiv \sum_{j=0}^m g'(x-ja)$$

$$f(x) - \tilde{f}(x) = \varphi(x-ma) \rightarrow a\text{-nélüt } k' \text{ darabos } (L = k' \cdot a)$$

kiszámolható u. azt a  $\varphi$ -t

$$k' \cdot \varphi(z) = \sum_{k=0}^{k'-1} f(z+ka) - \sum_{k=0}^{k'-1} \tilde{f}(z+ka)$$

$$\varphi(z) = \frac{1}{k'} \sum_{k=0}^{k'-1} f(z+ka) - \frac{1}{k'} \sum_{k=0}^{k'-1} \tilde{f}(z+ka)$$

öt számolás

ez nem ismert      ez ismert

ez közelít az átlaghoz ( $k'$  db. pontban kivándorom és elosztom  $k'$ -vel)  
(akkor jó, ha  $L$  nagy,  $a$  kicsi,  $k'$  nagy)

$$\varphi(z) \approx A - \frac{1}{k!} \sum_{k=0}^{k-1} \tilde{f}(z+ka)$$

$$\varphi(x-ma) \approx A - \frac{1}{k!} \sum_{k=0}^{k-1} \tilde{f}(x+ka-ma)$$

ha  $A = \text{átlag}$ , akkor

$$A \approx \frac{1}{k!} \sum_{k=0}^{k-1} f(z+ka)$$

(itt még  $m$  egy konstans, nincs rá summázva)

$$\varphi(x-ma) \approx A - \frac{1}{k!} \sum_{k=0}^{k-1} \sum_{j=0}^m g'(x-ja+ka-ma)$$

$$f(x) = \sum_{k=0}^m g'(x-ka) + A - \frac{1}{k!} \sum_{k=0}^{k-1} \sum_{j=0}^m g'(x-ma+a(k-j))$$

átlaga elég pontosan  $\approx$  átlagával (integrálás...)

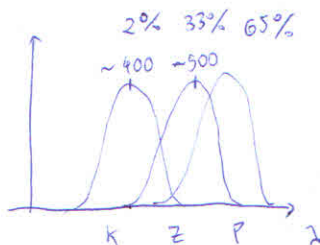
ami nem pontos, hogy az a  $\sum$  nem pont az átlag (pl. lehet kényszer a terület, ha pont beltráfoltok...)

11.03.

4 ca

## Színes képek

1965: emberi szemben a csupol négy működnek, mert a nínssűrűk



$Z$  is  $P$  közel van

TRIKROMATIKUS látásunk van

→ 3 alapszínnel dolgozunk

CIE rendszer (1931) (International Commission of Illumination)

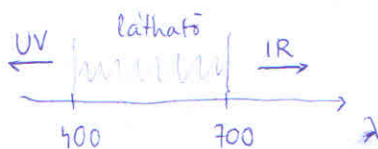
meghatározta az RGB-t

R	G	B
435	576	700 nm

→ itt nézgett a nap

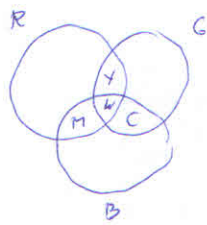
erent át a vízparán

→ ellett meghatározta meg, mert ahogy megvizsgáltuk volna (65) — nem n. a.



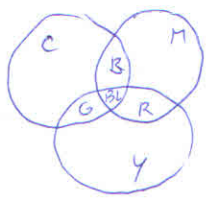
→ itt nín látható belőle

## ADDITÍV ALAPSZÍNEK



M: magenta  
C: cyan  
y: yellow  
w: white

## SZUBSZTRAKTÍV ALAPSZÍNEK



Bl: Black  
pl. régi TV:  $\bar{e}$ -ágyú  
 $\rightarrow \bar{e} \rightarrow \text{foszfor} \rightarrow \text{fűz}$   
becsát ki  
(ez pont additív...)

Legyen  $X, Y, Z$  a három színhez tartozó intenzitás.

Megvezűk el:

$$x = \frac{X}{X+Y+Z}$$

$$y = \frac{Y}{X+Y+Z}$$

$$z = \frac{Z}{X+Y+Z}$$

$[0, 1]$

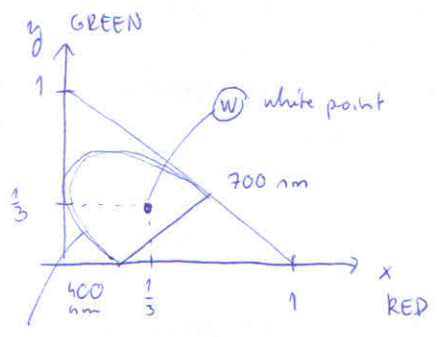
$$x+y+z=1$$

$$z = 1 - (x+y)$$

2 db független információ

## KROMACITÁS DIAGRAM

(mics z, mert meghatározható)



CIE elhelyezte leen a diagramon a látható  
rezet az EM spektrummal

lefele egyre naturáltabb a szín

(messze távol vagyok ettől a fehér ponton)

## GAMMUT

olyan, mint a polárkoordináta:

r: saturáció

φ: hue (fajta, pl. kék)

(elektéség)

S: saturation

H: hue

Lehet: R, G, B  $\rightarrow$ 

H	S	I
---	---	---

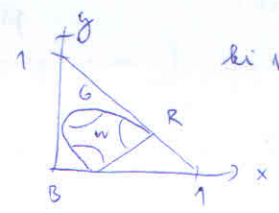
KROMACITÁS  
komponens

INTENZITÁS  
komponens

mennyi fehér van  
hozzakeresve

GAMMUT:  $S=1$

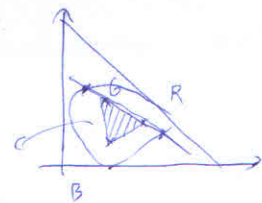
white point:  $S=0$



ki voltál színem

3 mint  
váltakozva

a  $\Delta$ -on belül

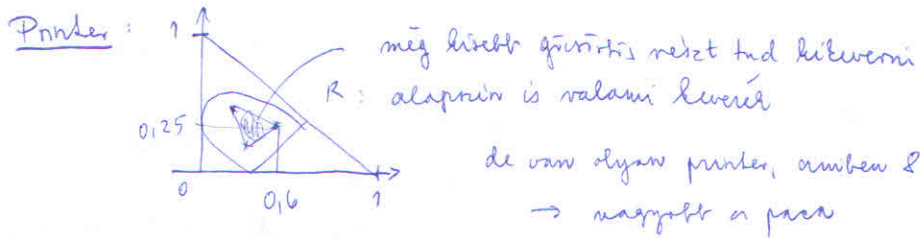


Mi vagy ha 2 alapintet váltasz?

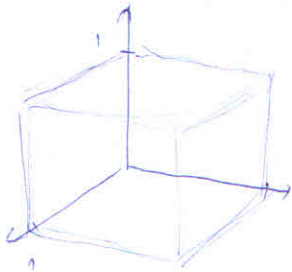
reszt tudom hikerem

BIKROMACITÁS: egy egyenes az ábrán

$\rightarrow$  rohamon lehet hikerem az egész látható spektrumot monitorral



RGB



$$\begin{bmatrix} C \\ M \\ Y \end{bmatrix} = \begin{bmatrix} 1 \\ 1 \\ 1 \end{bmatrix} - \begin{bmatrix} R \\ G \\ B \end{bmatrix}$$

Számos TV-nél kiterjedt a  $H, S, I$  -re



$$\begin{bmatrix} Y \\ I \\ Q \end{bmatrix} = \begin{bmatrix} 0.299 & 0.587 & 0.114 \\ 0.596 & -0.275 & -0.321 \\ 0.212 & 0.523 & 0.311 \end{bmatrix} \begin{bmatrix} R \\ G \\ B \end{bmatrix}$$

RGB  $\rightarrow$  GRAYSCALE  
 ebben látást próbálja utánozni

Számítógép  $H, S, I$  műltér

$$I = \frac{1}{3} (R + G + B)$$

$$H = \cos^{-1} \left( \frac{\frac{1}{2} [R - G + (R - B)]}{\sqrt{(R - G)^2 + (R - B)(G - B)}} \right)$$

$$S = 1 - \frac{3}{(R + G + B)} [\min(R, G, B)]$$

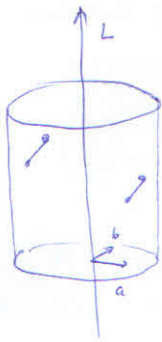
Hogyan dolgozol fel néző képeket?  
 RGB  $\rightarrow$  HSI  $\rightarrow$  I-vel manipulálod,  
 aztán visszahozod a nézőformá-  
 ción, H, S-t.

RGB: perceptually nonuniform ( $\leftrightarrow$  perceptually uniform) pl. mozsképekben

Adott:  $R_1, G_1, B_1$  és  $R_2, G_2, B_2$  a két és piros mólban,  
 a távolság  $(R_1 - R_2)^2 + (B_1 - B_2)^2 + (G_1 - G_2)^2$ .

Az ebben nem a piros mólban mólal elkerüléssel látja, mint a két mólban.

Lab minter : human perceptuós lételemmel hata'votál meg



$$A = \sqrt{(k_1 - L_2)^2 + (a_1 - a_2)^2 + (b_1 - b_2)^2}$$

$$(R, G, B) \rightarrow (\text{Matrix}) \rightarrow (x, y, z)$$

$$L = 116 \cdot f\left(\frac{Y}{Y_m}\right) - 16$$

$$a = 500 \left[ f\left(\frac{x}{x_m}\right) - f\left(\frac{y}{y_m}\right) \right]$$

$$b = 200 \left[ f\left(\frac{y}{y_m}\right) - f\left(\frac{z}{z_m}\right) \right]$$

$$\frac{x_m, y_m, z_m}{w}$$

↓

mélység felhő  
a mív

$$f(t) = t^{1/3}, \text{ ha } t > 0.008853$$

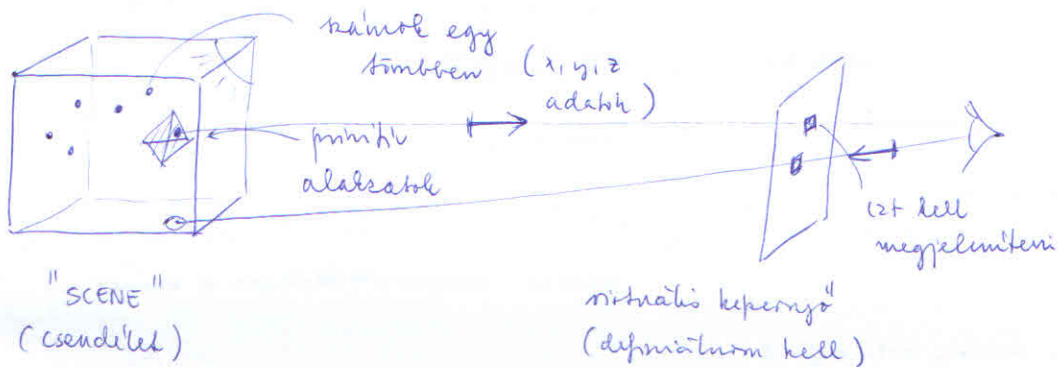
$$f(t) = 7.787 \cdot t + \frac{16}{116}, \text{ ha } t \leq 0.008853$$

Canon: 50 MPixel : effektív ISO :  $4 \cdot 10^6$  (2 processzor van benne)

## Képalkotás (Rendering)

11.10.

jövő két : stereoszkopikus ábrázolás  
adattal szemléltetve megjeleníteni

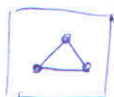


Négyféle algoritmus:

(1) RASZTEREZÉS : objektum  $\xrightarrow{\text{információ}}$  képnk  $\xrightarrow{\text{nézőpont}}$

/létező/: fájlformátum : vektoros v. rasteres

3 pont + vonalrészegység  
+ vonalvív



keres info,  
felbontás-



1024

a nézéstől  
képpontoként megadom

VEKTORGRAFIKA

függetlenül megjeleníthető

RASZTER

Rasterezés: vektoros infóból  $\rightarrow$  rasteres grafika négy, hogy megnézzem a virtuális képernyőn keresztül, hogy fog kinézni az adott nézőpontban

(2) RAY-CASTING : pixel-letapogatói egyezsével  $\leftrightarrow$   
(magán-kivétel)

Rasterezés előnye: R-C-nél felesleges magánlat nélkül  $\&$   
 $\hookrightarrow$  ez befolyésszerűen  
Na, véletlenül a lepotolandsó anyag körülete után.

12.01.

Vizsga: DEC. 17. 09:00, írásbeli (ma: január második fele)

4-5-6 feladat: növeggel lévni dolgozat, leveles leveletés

ma: Fájlformátumok

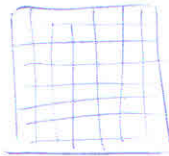
kör: Visualizáció

Fájlformátumok : információelmélet alapjai

$$R_D = 1 - \frac{1}{C}$$

R: redundancia mértéke

C: kompresszió foka



1000 x 1000 byte  $\rightarrow$  1 millió byte

tömörítési inf. mennyiség nélkül?

ha pl.  $\frac{1}{10}$ -ére tudom tömöríteni:

0-255 színtartomány

$C = 10$ ,  $R_D = 0.9$   $\rightarrow$  ekkora hányada redundancia, felesleges a képenél

Régen: tárhely volt a gond

Most: interneten átvitel a gond (pl. mozgóképek)

$\sim 25$  év alatt 6 nagyságrend növekedés  $\rightarrow 10^6 = 2^{18}$

Moore-törvény: évente megkétszereződik a tárhely

Tömörítés = megütköztetés a redundancia miatt.

Kétféle redundanciát képvisel:

1. kódolási r.
2. inter-pixel r.
3. pszicho-vizuális r.

① pl.  $1000 \times 1000$  méretű kép  $\rightarrow$   $\forall$  cellában 3 byte  $\rightarrow$  1 m/n: 24 bit  
 csak 8 féle német használata

RED:	255, 0, 0	$\rightarrow$	0, 0, 1	} színtáblázat (LUT)
KÉK:	0, 0, 255	$\rightarrow$	0, 1, 0	
:				
NARANCS:		$\rightarrow$	1, 1, 1	

24 bit helyett: 3 bittel is leírható

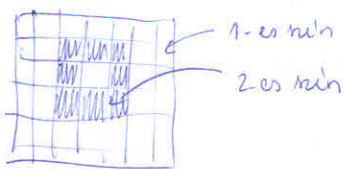
a fejlécsémaállításakor  
 használjuk a LUT-ot

$\leftarrow$  az a kódolási redundancia

$\hookrightarrow$  8-adarú tömörítéssel + az elején ott van a CLUT (32 bajt)

vonalas ábrák, pl. logó (webtérden)

②



nem azt kell létni, hogy 1122211, hanem  
 $2 \times 1, 3 \times 2, 2 \times 1$  stb.

darabozás + mérték formálása

pl.  $1000 \times 1000$  bájtos kép egy sora lehet  $5 \times 2 = 10$  bajt 1000 helyett

vonalas ábra: nem valós foto, hanem geometriai rajzoló programmal  
 mesterségesen készült

$\hookrightarrow$  ez a két redundancia vonalas ábrához jó

③

fotok esetén, ventereség

mincs kódolási v. inter-pixel red.

pl.  $8000 \times 8000$  kép, 64 millió pixel, mind két. mérték

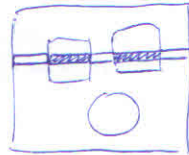
vannak olyan változások, melyekre pszicho-vizuálisan nem érzékeny  
 az ember  $\rightarrow$  ez az info lehet redundáns

Pl. JPEG: minőségi faktor (pl. 1-12) <sup>Photoshop</sup>

↳ alár C=10 kompressziós faktort is el lehetünk jö eljárásból,  
amelyet nem vesz észre az ember

## Fajlformátumok

PCX: : elő sz. gépek rajzprogramjaiból → inter-pixel redundanciát  
künteti meg



→ geometrius, vonalas ábrák  
tömítésére használták

GI.F (Graphics Interchange Format) : vonalas ábrák, képek mint táblák  
File

→ kódolási & inter-pixel r. át künteti meg

→ kötött 256 db színből álló paletta

↳ minden pixel egy bajt → mintatáblát egy index (CLUT)

J.P.E.G. (Joint Pictures Expert Group)

→ pszicho-vizuális redundancia megszüntetése

→ human-perceptio's hitelesítéssel optimalizálás

→ egyetlen "picture expertje" rendelkezésel él

→ wavelet-transzformációt használ

(hasonlít a 2D FT-ra → magasabb frekvenciás komponensek  
"korlátot" okozhatnak)



→ ha csak ezt látom meg (aluláteresztő szűrő)

→ a kép nagyságától > hullámhosszú komponensekkel

nyugodtan kidobhatom

mintha smitnám

→ más: pl. focimecs : jó felbontás, de kevésbé min. éll

↔ arcfotó : rossz felbontás, de több min. éll

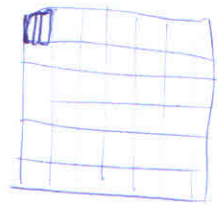
## ~~JPEG~~

### PNG (Portable Network Graphics)

- hálózaton átveendő grafika
- egyreme csúnya az, mint a GIF és a JPEG (mindkét algoritmusát tudja)
- "megírja", hogy vonalas ábrát vagy fotót kapott

### TIFF (Tagged Image File Format)

- tömítetlen
- tag-ek vannak az elején
- pl. drága mikroszkóp felvétele, van elég tárhely



1000 x 1000

3 millió byte

↑  
nem is onloppolytonos adathalmaz

- megjelöléshez kell, hogy hánykor hányas, és hány menyi infót tartalmaz : 1000, 1000, 3 ← meg kell adnom az elején

első  $2+2+2=6$  bajt a tag-ek → ez nem biztos v. olvasható v. nem → utána nézni

### FITS (Flexible Image Transportation System)

- asztrofizikával használják
- kibővített TIFF: tag-ek + tömítetlen infó  
↑  
ASCII szerkeszhető, olvasható,  
vélhető több infó  
↓  
→ fontosak a kép leírásánál kiegészítései (header)

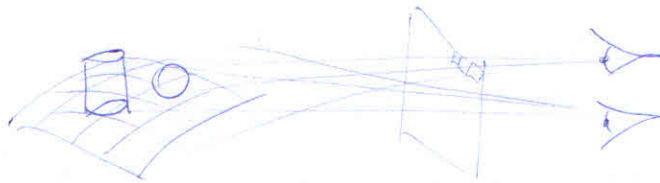
$$\boxed{\text{XSIZE}} = \underline{2048} \quad \leftarrow \begin{array}{l} 10 \text{ byte} \\ \sim 70 \text{ byte} \end{array}$$

$$\boxed{\text{YSIZE}} = \underline{2048}$$

$$\text{NS} = 2 \quad \rightarrow \text{ tengelyek száma}$$

- pl. spektroszkópia : 1D infó : NS = 1  
XSIZE csak

# Stereoszkopikus képalkotás



ember: 2 szem ~ 10 cm távolságot  
 2 nézőpontból kell a rendeltetést megemlíteni + separáció

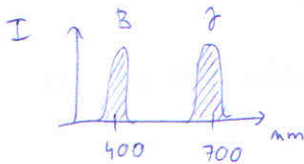
4 főbbi reparációs eljárás:

közeli és távoli tárgy az elmozdulás nagyságától

ANAGLYPH: fény spektrummal névtárlásával

pl. piros + kék egytér-mániá nemmel való kép + piros/kék miniszűrős nemmel  
 előnye: nem kell vetíteni; nem kell képernyő hozzá

probléma: ha nem teljesen reparált a két miniszűrős, akkor van átfedés  
 → nem teljesen úgy látom a képet (pirosat is kéket halványan)

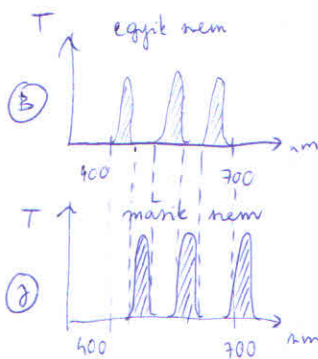


+ nem szűres (szűrtös kép)

- |         |                    |
|---------|--------------------|
| + OLCSÓ | - NEM SZŰRES       |
| + PRINT | - SZEPARÁCIÓ ROSSZ |

"INFITEC":  
 (cégről)

itt is a fény spektrális tulajdonságát használják az Anaglyph szűrésességét javítják ki



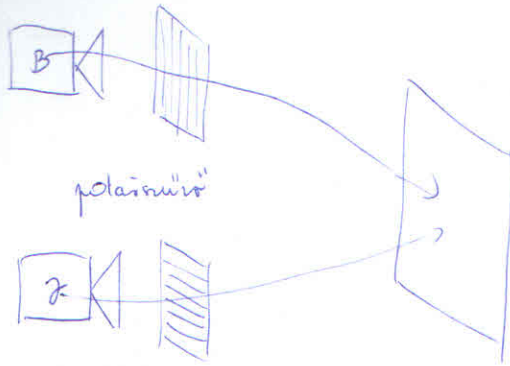
átteremtése a nemüvegűes legyen speciális, reparált printelni is speciálisan kell

- kékfele alapnín-hármasat használtnál
- bonyolult miniszűrők

→ nem szűrés minikalibrációs problémák

(leszűrő miniszűrő:  $\frac{\Delta\lambda}{\lambda_0} = 0.01 \rightarrow$  nagyon nem effektív, azért nem (szűrés: 0.2) használják, mert a palán atomerőmű kéne, hogy látható legyen a kép)

PASSZÍV SZTEREO : fény polarizációját használjuk ki

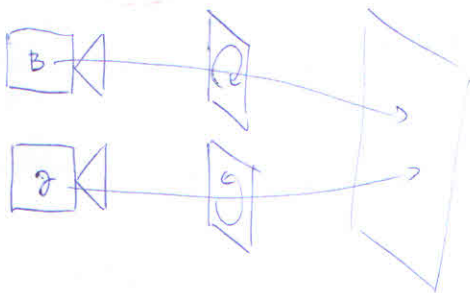


- mindkét vetítőnél eltérő és meghatározott polarizációs állapotba van
- nemüveg polarizációs alapon neparallja a tükrös-közeli objektokat
- baj: ha megdöntöm a fejem, a nemüveg polarizációja nem fog megegyezni a vetítő polarizációjával

Chromatik a interferenciaképzés  
 ↓  
 átfedés lenni ← ←

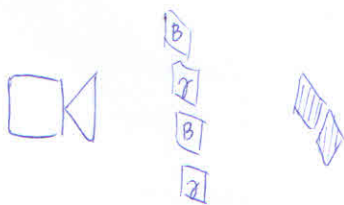
- ha megsérültem a b/j nemnek kétszínű képet → fejfájás
- pamir: a nemüveg nem dolgozik, egyenlő polarizáció

AKTÍV SZTEREO : CIRKULÁRISAN polarizációs kűröt kell alkalmazni



- a vászonról visszaverődve nem károsítja meg a hullámot a polarizációjával → spektrális vászon kellett

AKTÍV SZTEREO : "IDŐBEN"



LCD folyadékrészecske eltolásával / nem ritkán el pl. 120/S (60-60 ms-ként nemmel)

szinkronizálva vannak

felvételre vetíti a képet a B és a J nemmel

+ spec. vetítő: dupla frekvenciával kelljen vetíteni, szinkronizálni kell

DRAQA : 800 \$  
 az albi nemüveg pedig mine a legjobb

- ma szóban:



val/jobb képet egymás után vetíti

+ Z-SCREEN : 120/s-ként változtatja a polarizációt

- pamuk nterechoz műanyag vetítő, se papír, se TV..

- aktív nterecő : papíron nem megy, de TV-n működik!

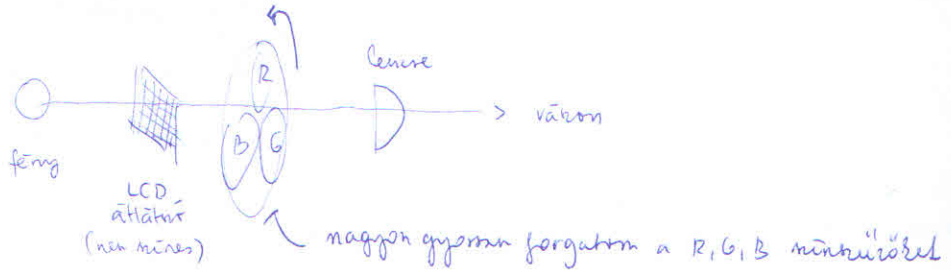
→ G/j képet kell küldeni

→ 2x akkora minőség a TV-nél

→ IR jelet ki kell adni a nemüvegnek (elégbben működéshez)

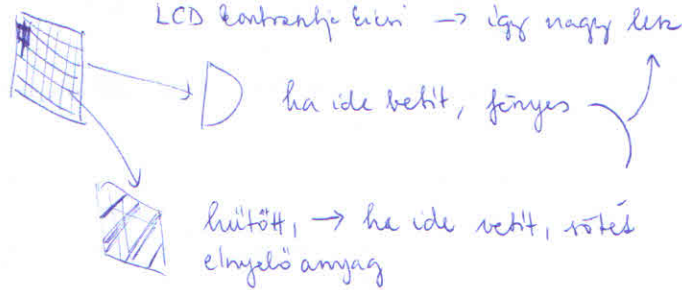
} olcsóbb lett  
→ ~50-100 \$

vetítő:



pl. nagygyorsan forduló : hogy látom? (minőségűvel érve?)

jó LCD: pixelekenként kicsi forgatható szűrő



→ az a jó DLP  
Dig Light P

→ folytatás

12.01.

→ pl. 3D-s FITS (key=value) folyt.

4D-s : 3D-s film oldalán tárolva

→ tároláshoz : 300 sornyi header információ

pl. epoch, zenítőhossz, obj. neve, ki vesette a méret stb.

~ kb. 25 kbyte header

→ rekord: 1440 byte (18 sor)

↳ ilyen kvantumban lehet helyet foglalni a headerben

P.S. (POST-SCRIPT)

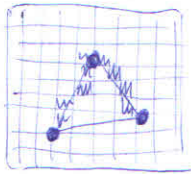
PDF (Portable Document Format)

(Adobe Systems)

→ vektoros infot tartalmazó, nem rasteres

→ eddig: rasteres info tömörítésre volt szö (és tárolásuk)

rasteres  
szövegek



kis méretű raster

→ jobb felbontás

vektoros: PS programozás

1000 SCALE

100 100 MOVETO

800 200 LINETO

:

PRINT

ide lehet  
még.

8 COLOR

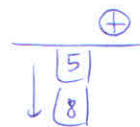
5 LINEWIDTH stb.

PS

stack-orientált programnyelv:

pl. számológép: bevitel: 5, 8, ⊕

változó, operátor



és interpretált programnyelv: sorról sorra végrehajtja

→ vektoros grafika létező, stack-orientált, interpretált prog. nyelv

↔ a 3 koordinátás eltávolítja (3 pont)

→ DVI: "végfelen" felbontás → a megjelenítő előző felbontásához függ, mellesre létező a raster → GRAFIKA

→ pl. a betű: vektoros rajz:  ← képlet, kitöltés

→ ASCII formátumban lehet csak képernyőre jeleníteni (vektoros) tömbben

PDF

: → tudja a tömörített képeket is (JPEG stb.)

→ vektoros programnyelv, vektorgrafika van rajta

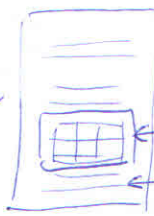
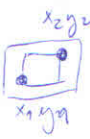
EPS

encapsulated post-script

1. bejelöltetés, hogy encapsulated

2. hogy pontosan oda a papírra

3. suppressed print command



interpretative  
prog. ny.

ne hajtsa végre  
hogy tudjan folyni

12.08.

Mozgóképek formalumai:

MPEG (Motion Pictures Experts Group) - 1988 (~350 tag)

- MPEG1 (1993) fix (alacsony) felbontás ellátott (pedig lehetne 4k is)
  - 320 x 240 : 24 v. 30 fps (frame per second) => 1,5 Mbit/sec sűrűség

↓  
a normál "CD"-nél ez a bit-rátája (audio CD)

1)  $700 \text{ Mbyte} \sim 1-1.5 \text{ óra}$   
 $7 \cdot 10^2 \text{ Mbyte} \sim 5 \cdot 10^3 \text{ sec}$   
 (nagygyorsrendűleg)  $\sim 7 \cdot 10^3 \text{ Mbit} \sim 7/5 \text{ Mbit/sec} \approx 1.5 \text{ Mbit/sec}$

2)  $48 \text{ kHz} \times 2 \text{ (csatorna)} \times 16 \text{ bit}$   
 (sample rate)  $48 \cdot 10^3 \times 3.2 \rightarrow 1.5 \cdot 10^6 \frac{\text{bit}}{\text{sec}}$

=> lehetett Video CD-t csinálni MPEG1 formátumban

- layerekben tartózza az adatot

Video Layer (1 v. 2)

→ Audio Layer 3 => MP3 (MPEG Layer 3)

- a képroszátot I-FRAME }  
 P-FRAME } -k alkotják

↓ "predictive"

az I-FRAME-hoz képesti differenciát tartózza (pl. 15 kép, aztán 1 I..)

(pl. híradó)

→ "independent"/"key-frame"

neha elmenthet helyes, "független" frame-t (pl. 16 képként)

(tömörítés)

||

"JPEG"

- B-FRAME (bidirectional) → később jön a key-frame, amiből le kell vonni tehát meg kell várni az I-FRAME-t, addig nem lehet megjeleníteni (nagy buffer kell hozzá)

pl. mozifilm



(előretekinteni csak key-frame-ek lehet)

## MPEG2 (1995)

- "broadcast quality" digitális mozgóképformátum

↳ satelitke digitális TV-csatomán megjelenítendő képét kell tudnia hiba nélkül

európai TV felbontás: 625 sor

3/4 kép-arány:  $\sim 840 \times 625$

25 fps (Európa, 50Hz) - 30 fps (Amerika, 60Hz)

↑  
50 félképet megároznak: 60

+ INTERLACE  
+ SOKCS.  
+ FELBONTÁS  
+ SZÍNTER

egyik félkép {  } másik félkép (0.2. sor) INTERLACE  
(tudja az MPEG2)

- SOKCSATORNÁS HANG

DVD: Digitál Video Disk → 576 sor (16:9 képarány)

5.1, 7.1 csatornás hang (MP3 csak normál sztereó 2 csatornás hang)

- SZÍNTER: többféle minőségű is használható

↳ header tartalmazza: melyik min hang utas van abszolva

## MPEG4 (1998)

- 3-mas minos: hozzácsaptál a 2-eshez utólag

- a Blue-Ray elterjedése kelle szűrésének → sokkal nagyobb felbontás, bitrate

kitevő:  DVD  
16:9 →  1 réteg, 4,5 Gbyte  
régi: 4:3 →  egyre felénél 2 réteg → összesen 18 Gbyte  
megfordítható

otthon 1 réteget tudok írni → 4,5 Gbyte

gyárban: 2 réteg, 2 oldal → 18 Gbyte

- Blue-Ray (~30 GByte)

- megvilágító fény frekvenciája nőtt → olvas' két lézer

- sokkal kisebb pontok (határ és olvasható a felületen)

- HD-TV-k elterjedése:

normál és HD-k  
kétli lézer

720p 1080p  
720i 1080i

1920x1080

full-HD: 1080 sor

(16:9)

progressive → egyen képek jönnek  
interlaced

## MPEG2 (1995)

- "broadcast quality" digitális mozgóképforma'lum

L satelitte digitális TV-csalomán megjelöltendő képet kell tudnia hitra  
 Európai TV felbontás: 625 sor

3/4 kép-arány: ~840 x 625

25 fps (Európa, 50Hz) - 30 fps (Amerika, 60Hz)

↑  
 50 felképet sugároznak: 60

+ INTERLACE  
 + SOKCS.  
 + FELBONTÁS  
 + SZÍNTER

egyik felkép {  másik felkép (1/2 sor) INTERLACE  
 (Ludya az MPEG2)

- SOKCSATORNÁS HANG

DVD: Digitál Video Disk → 576 sor (16:9 képarány)

5.1, 7.1 csatornás hang (MP3 csak normál sztereó 2 csatornás hang)

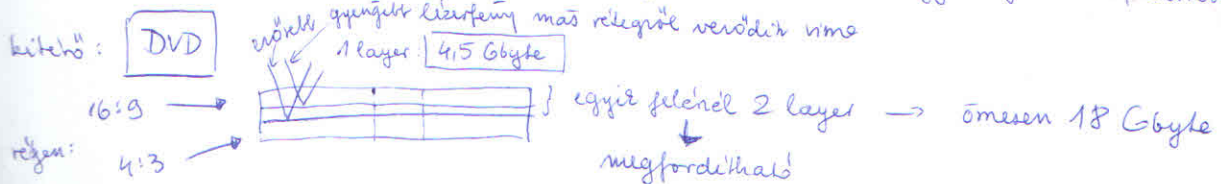
- SZÍNTER: többféle minőségű is használható

L header tartalmazza: melyik min hang bites van ábrázolva

## MPEG4 (1998)

3-mas mincs: hozzácsapták a 2-eshez utólag

- a Blue-Ray elterjedése kelle szűrésének → sokkal nagyobb felbontás, bitrate



otthon 1 réteget tudok írni → 4,5 Gbyte

gyárban: 2 réteg, 2 oldal → 18 Gbyte

- Blue-Ray (~30 GByte)

- megvilágító fény frekvenciája nőtt → csak két lézer
- sokkal kisebb pontok (határ és olvasható a felületen)

- HD-TV-k elterjedése:

normál és HD-k  
 köeti lézer

720p 1080p  
 720i 1080i

1920 x 1080

full-HD: 1080 sor

(16:9)

progressive → egyn képet jönnek  
 interlaced

## + DRM (Digital Rights Management)

lehet nézni a fájlt, hogy ki milyen licenccel juthatja le  
a világot 6 régióba osztják → adott régióban lehetett csak licenccel (header-ben)  
(roster → meg lehetett bárhová) → MPEG2-nél csak egy "región" volt  
MPEG4-ben könnyebb

## + AAC (Advanced Audio Codec)

más kódolás, mint az MPEG2/1-nél

## + VRML (Virtual Reality Modeling Language)

3D-szenáriókat leírható MPEG4-ben

tartalmaz 3D-s "scene"-t leíró nyelvet

→ real-timeban tud megjeleníteni objektumok megjelenését

→ elszórt az MPEG4 a computer grafika felé

3D-rendering gép beemelés  
tud leírni

## + DIVX, XVID, QUICKTIME

különböző tömítési módokat megenged

Információ Vizualizáció : továbbá valamilyen tárgy